

С 341:2б

А-329

ОБЪЕДИНЕННЫЙ  
ИНСТИТУТ  
ЯДЕРНЫХ  
ИССЛЕДОВАНИЙ

Дубна

ЯФ, 1968, 5.8, вып. 3, 18.Х 1967.  
с. 417-423



P6 - 3492

Г.Т. Адылов, Р. Бабаджанов, А.С. Кучма,

В.А. Морозов

ВРЕМЯ ЖИЗНИ УРОВНЯ 242,8 КЭВ В ЯДРЕ  $^{165}\text{Er}$

АБОРИГЕНИЯ  
ЯДЕРНЫХ ПРОБЛЕМ

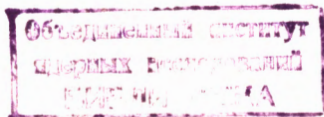
1967.

P6 - 3492

Г.Т. Адылов, Р. Бабаджанов, А.С. Кучма,  
В.А. Морозов

ВРЕМЯ ЖИЗНИ УРОВНЯ 242,8 КЭВ В ЯДРЕ  $^{165}\text{Er}$

Направлено в ЯФ



## Введение

Исследование вероятностей одночастичных переходов в деформированных ядрах вызывает значительный интерес вследствие возможности проверки ряда модельных представлений о строении ядра<sup>/1-3/</sup>. В данной работе было определено время жизни уровня 242,8 кэв в ядре  $^{165}_{68}\text{Er}_{97}$ . Ядро  $^{165}_{68}\text{Er}_{97}$ , относится к сильнодеформированным ядрам, и для гамма-переходов 242,8 кэв ( $M1+E2$ ), 195,7 кэв ( $E1$ ), 165,6 кэв ( $E2$ ), идущих с состояния  $3/2\ 3/2^-/521/\downarrow$  в основное  $5/2\ 5/2^-/523/\downarrow$  и в состояния  $5/2\ 5/2^+/642/\downarrow$ ;  $7/2\ 5/2^-/523/\downarrow$  должен существовать запрет по асимптотическим квантовым числам (см. табл.1).

## Экспериментальная часть

### 1. Получение источника

Для измерения времени жизни 242,8 кэв в ядре  $^{165}\text{Er}$  использовался источник  $^{165}\text{Tm}$ , который был получен в результате хроматографического разделения редкоземельных элементов из продуктов реакции расщепления тантала, облученного быстрыми протонами с  $E_{\text{пр}} = 660$  Мэв на синхроциклотроне ОИЯИ в течение 2 часов.

Во фракции туния, кроме  $^{165}\text{Tm}$ , присутствовал также ряд других изотопов туния, поэтому измерения начинались через трое суток после выхода туния из хроматографической колонки с тем, чтобы короткооживущие изотопы туния полностью распались.

В гамма-спектре препарата туния, снятом на гамма-спектрометре с  $\text{Ge}(\text{Li})$ -детектором<sup>/4/</sup>, в интересующем нас районе мы не обнаружили гамма-

линий других изотопов, влияющих на измерение времени жизни уровня  
242,8 кэв  $^{165}\text{Er}$ .

## 2. Аппаратура

Измерения производились на многоканальном временном анализаторе с преобразователем типа "время в амплитуду".

Регистрация излучений производилась на спиритилляционных спектрометрах с пластическими спиритилляторами размерами  $(20 \times 1,5)$  мм<sup>2</sup>,  $(25 \times 17)$  мм<sup>2</sup> и фотомультиплексорами типа ФЭУ-36.

Собственное разрешающее время установки, полученное на источнике  $^{60}\text{Co}$ , для энергий  $\sim 170$  и  $\sim 1180$  кэв, выделенных по боковым каналам, равнялось  $2\tau = 8,2 \cdot 10^{-10}$  сек.

## 3. Условия эксперимента

Измерения производились следующим образом: дифференциальные дискриминаторы боковых каналов устанавливались в район  $170 \pm 220$  кэв в первом канале и  $980 \pm 1200$  кэв во втором канале, что соответствовало выделению K, L - 242,8 кэв и выделению максимума комптоновских распределений от гамма-лучей с энергией выше 1132 кэв соответственно. Измерения, проведенные в этих условиях, мы в дальнейшем будем называть основными.

Для того, чтобы убедиться в правильности выделения K и L -конверсионных линий перехода с энергией 242,8 кэв в первом канале, спектр конверсионных электронов препарата измеряли с помощью полупроводникового бета-спектрометра с Si(Li) -детектором. Разрешение прибора на K -линии  $^{137}\text{Cs}$  составляло 8,5 кэв  $^{1/4}$ . В спектре конверсионных электронов отчетливо наблюдались линии K, L - 208,0 кэв  $^{167}\text{Tm}$ ; K, L - 242,8 кэв; K - 296,0 + K - 297,3 кэв  $^{165}\text{Tm}$ . Не исключалось, что в районе выделенного нами спектра, наряду с интересующими нас линиями K и L - 242,8 кэв присутствуют линии K и L - 208,0 кэв  $^{167}\text{Tm}$ ; K - 296,0 + K - 297,3 кэв  $^{165}\text{Tm}$ .

Линии K и L - 208,0  $^{167}\text{Tm}$  не могут внести вклады в спектр совпадений, т.к. гамма-переход с энергией 208 кэв идет с изомерного состояния ( $T_{1/2} = 2,5$  сек). Чтобы исключить вклад в спектре совпадений от частичного

присутствия в первом канале  $K - 296,0 + K - 297,3$  кэв  $^{165}\text{Tm}$ , во втором канале был выделен район энергий, соответствующий энергии гамма-лучей больше 1132 кэв. Как видно из схемы распада  $^{165}\text{Tm} \xrightarrow[29\text{ час.}]{K, \beta^+} ^{165}\text{Er}$ , приведенной на рис. 1, гамма-переходы с энергией 296,0 и 297,3 кэв не совпадают с гамма-лучами с энергией выше 1132 кэв. Для проверки этого факта был поставлен следующий контрольный опыт. "Окно" дифференциального дискриминатора первого канала было сдвинуто так, чтобы выделить преимущественно конверсионные линии  $K$  и  $L - 296,0$  и 297,3 кэв и частично  $L - 242,8$  кэв, и в этих условиях были выполнены измерения задержанных совпадений. Основные и контрольные измерения проводились в одинаковых условиях с одинаковым временем набора. По форме кривые задержанных совпадений в обоих измерениях были одинаковы, но счет задержанных совпадений в этом контрольном опыте был примерно в шесть раз меньше. Очевидно, что эти совпадения связаны с линией  $L - 242,8$  кэв, т.к. интенсивность  $L - 242,8$  кэв составляет 17% от интенсивности  $K - 242,8$  кэв. Таким образом, результат контрольного опыта позволяет заключить, что задержанные совпадения, измеренные в основном опыте, определяют время жизни уровня с энергией 242,8 кэв.

Результаты измерения приведены на рис. 2. Кривая 1 соответствует кривой мгновенных совпадений, снятой с помощью  $^{60}\text{Co}$ , кривая 2 — кривая совпадений для уровня 242,8 кэв  $^{165}\text{Er}$ . Обе кривые сняты в идентичных условиях. Период полураспада уровня 242,8 кэв  $^{165}\text{Er}$ , определенный по смещению центров тяжести мгновенных и задержанных совпадений, оказался равным

$$T_{1/2 \text{ эксп.}} = (3,21 \pm 0,51) \cdot 10^{-10} \text{ сек.}$$

При этом в определении периода полураспада уровня 242,8 кэв учитывалась разница во времени пролета электронов по сравнению с временем пролета гамма-квантов от источника до соответствующего сцинтиллятора ( $\Delta t = 0,67 \cdot 10^{-10}$  сек).

Указанная нами погрешность содержит среднеквадратичную ошибку в определении положения центров тяжести и систематическую ошибку в определении цены канала, которая не превышает 2%.

## Анализ результатов эксперимента

По данным об относительных интенсивностях конверсионных и гамма-линейных переходов с энергией 242,8; 195,7; 165,6 кэв, идущих с уровня 242,8 кэв<sup>/5/</sup>, были извлечены парциальные периоды полураспада для этих гамма-переходов по формуле:

$$T_{1/2}^{\gamma} = \frac{T_{1/2}^{\gamma} (\text{эксп.}) (1 + \alpha_1 \text{ полн.})}{f_1}$$

где  $T_{1/2}^{\gamma}$  - парциальный период полураспада данного гамма-перехода;  $T_{1/2}^{\gamma}$  (эксп.) - экспериментальное значение периода полураспада уровня 242,8 кэв;  $\alpha_1$  полн. - полный коэффициент внутренней конверсии данного гамма-перехода,  $f_1$  - коэффициент разряда уровня по данному переходу.

В табл. 1 приведены парциальные периоды полураспада ( $T_{1/2}^{\gamma}$  ) гамма-переходов, идущих с уровня 242,8 кэв. Данные о мультипольности гамма-переходов взяты из работ Звольской и др.<sup>/5/</sup>. Коэффициенты конверсии для К и L -оболочек взяты из таблиц Слива и Банд<sup>/6/</sup>, а для M + N -оболочек принято значение 0,3  $\alpha_{\Sigma L}$ , где  $\alpha_{\Sigma L}$  - суммарный коэффициент конверсии на L -подоболочках. Теоретическое значение ( $T_{1/2}^{\gamma}$ )<sub>M</sub> подсчитано по формулам Мошковского<sup>/1/</sup>. Для расчета  $F_N = \frac{B(\sigma \lambda)_N}{B(\sigma \lambda) \text{эксп.}}$  были использованы теоретические значения вероятностей парциальных переходов, рассчитанные по формулам Нильссона<sup>/2/</sup>.

Были вычислены значения сверхтекучей поправки к электромагнитным переходам -  $R_y$ . При расчетах  $R_y$  в качестве среднего поля брали подправленную схему Нильссона при деформации  $\delta = 0,3$  из работы<sup>/10/</sup>.

Данные по определению  $T_{1/2}^{\gamma}$  эксп.,  $F_M$ ,  $F_N$ ,  $F_F$ ,  $R_y$  для переходов, идущих с уровня 242,8 кэв, приведены в табл. 1. В этой же таблице с целью сравнения приведены значения  $F_M$ ,  $F_N$ ,  $F_F = \frac{B(\sigma \lambda)_F}{B(\sigma \lambda) \text{эксп.}}$  для гамма-переходов, идущих с уровня 74,5 кэв, в ядре  $^{161}\text{Dy}$ . Эти данные взяты из работы<sup>/7/</sup>, а значения  $F_N R_y$  рассчитаны в настоящей работе. Состояния 242,8 кэв в ядре  $^{165}\text{Er}$  и 74,5 кэв в ядре  $^{161}\text{Dy}$  характеризуются квантовыми числами  $3/2$   $3/2^-$  $/521/\dagger$ , и для всех гамма-переходов, идущих с этих состояний, существует аналогичный запрет по асимптотическим квантовым числам.

Как видно из табл. 1, вероятности M1-переходов задержаны по сравнению с оценками по Мошковскому на два порядка ( $F_m = 360$  для гамма-перехода 242,8 кэв M1 в ядре  $^{185}\text{Er}$  и  $F_N = 78$  для гамма-перехода 48,5 кэв M1 в ядре  $^{181}\text{Dy}$ ).

Расчеты вероятностей M1-переходов по Нильссону без учета сверхтекущей поправки и с учетом последней хорошо согласуются с экспериментом для этих же переходов ( $F_N = 5,5$ ;  $F_N R_y = 4,8$  для гамма-перехода 242,8 кэв M1 в ядре  $^{185}\text{Er}$  и  $F_N = 1,4$ ;  $F_N R_y = 1,3$  для гамма-перехода 48,5 кэв M1 в ядре  $^{181}\text{Dy}$ ). Большая задержка вероятностей E1-переходов по сравнению с расчетами по Мошковскому ( $F_m = 2,3 \cdot 10^5$  в ядре  $^{185}\text{Er}$  и  $F_m = 2,2 \cdot 10^4$  в ядре  $^{181}\text{Dy}$ ) указывает на то, что запрет по асимптотическому квантовому числу  $n_z$  на единицу уменьшает вероятность E1-перехода в среднем в  $10^2$  раз. Хотя расчеты вероятностей E1-переходов по Нильссону улучшают согласие  $B(E1)_{\text{теор.}}$  с их экспериментальными значениями по сравнению с расчетами по Мошковскому, но тем не менее, значения  $B(E1)_N$  завышены по сравнению с  $B(E1)_{\text{эксп.}}$  примерно на два порядка ( $F_N = 290$  в ядре  $^{185}\text{Er}$ ,  $F_N = 31$  в ядре  $^{181}\text{Dy}$ ). Такое занижение экспериментальных вероятностей E1-переходов наблюдается во многих ядрах<sup>/9/</sup>. Расчеты  $F_N$  с учетом  $R_y$  для переходов 195,7 кэв в ядре  $^{185}\text{Er}$  ( $F_N R_y = 180$ ) и 74,5 кэв в ядре  $^{181}\text{Dy}$  ( $F_N R_y = 6,2$ ) в отдельных случаях приводят к удовлетворительному согласию  $B(E1)_{\text{теор.}}$  и  $B(E1)_{\text{эксп.}}$ .

Факторы запрета для вероятностей E2-переходов с энергией 165,6 и 242,8 кэв в ядре  $^{185}\text{Er}$  по Мошковскому, по Нильссону без учета и с учетом сверхтекущей поправки равны  $F_m = 1,3 \cdot 10^1$ ;  $F_m = 2,6 \cdot 10^{-1}$ ;  $F_N = 8,1 \cdot 10^{-3}$ ;  $F_N = 2,4 \cdot 10^{-4}$ ;  $F_N R_y = 5,9 \cdot 10^{-3}$  и  $F_N R_y = 1,7 \cdot 10^{-4}$  соответственно. Полученные значения  $F_m$ ,  $F_N$  и  $F_N R_y$  показывают, что правила отбора по асимптотическим квантовым числам для этих переходов не действуют.

Систематика значений  $F_m$  и  $F_N$  для переходов типа E2  $\Delta K=1$ , приведенная в работе<sup>/7/</sup>, также показывает, что  $F_m$  и  $F_N$  для таких переходов принимает значения  $0,08 \pm 57$  и  $10^{-5} \div 10^{-2}$  соответственно. Такое большое различие  $B(E2)_{\text{теор.}}$  и  $B(E2)_{\text{эксп.}}$  в нечетных деформированных ядрах<sup>/7,8/</sup> можно устранить, если допустить возможность смешивания состояний. Фэсслер произвел учет влияния смешивания двух ротационных полос, между которыми

Т а б л и ц а 1

Экспериментальные результаты и факторы запрета для гамма-переходов между возбужденными состояниями с  $\Delta K = 1$  для нечетно-нейтронных деформированных ядер  $^{165}_{68}\text{Er}_{97}$  и  $^{161}_{66}\text{Dy}_{95}$

| Я д р о   | $^{165}_{68}\text{Er}_{97}$      |                            |                            |                            | $^{161}_{66}\text{Dy}_{95}$ (с) |                            |                            |   |
|---|----------------------------------|----------------------------|----------------------------|----------------------------|---------------------------------|----------------------------|----------------------------|---|
|   | 1                                | 2                          | 3                          | 4                          | 5                               | 6                          | 7                          | 8 |
| Энергия уровня<br>(кэВ)   | 242,8                            |                            |                            |                            | 74,5                            |                            |                            |   |
| $T_{1/2}$ (эксп.)<br>уровня (сек)                                   | $(3,21 \pm 0,51) \cdot 10^{-10}$ |                            |                            |                            | $2,75 \cdot 10^{-8}$            |                            |                            |   |
| Энергия радиац.<br>перехода (кэВ)                                   | 165,6                            | 195,7                      | 242,8                      | 242,8                      | 48,5                            | 48,5                       | 74,5                       |   |
| Начальное сос-<br>тояние<br>$IK^\pi [N n_z \Lambda]_\Sigma$         | $3/2\ 3/2^- / 521/\!\!\!/$       |                            |                            |                            | $3/2\ 3/2^- / 521/\!\!\!/$      |                            |                            |   |
| Конечное состоя-<br>ние<br>$IK^\pi [N n_z \Lambda]_\Sigma$          | $7/2\ 5/2^- / 523/\!\!\!/$       | $5/2\ 5/2^+ / 642/\!\!\!/$ | $5/2\ 5/2^- / 523/\!\!\!/$ | $5/2\ 5/2^- / 523/\!\!\!/$ | $5/2\ 5/2^- / 523/\!\!\!/$      | $5/2\ 5/2^- / 523/\!\!\!/$ | $5/2\ 5/2^+ / 642/\!\!\!/$ |   |
| Мультипольность   | E2                               | El                         | M1                         | E2                         | M1                              | E2                         | El                         |   |
| Интенсивность<br>гамма-лучей  | 7,5 (a)                          | 28,0 (a)                   | 870,0 (a)                  | 130,0 (a)                  | 1890,0                          | 8,0                        | 1000,0                     |   |
| Полный коэффи-<br>циент внутренней<br>конверсии<br>$\alpha_i$ полн. | 0,55                             | 0,06                       | 0,26                       | 0,14                       | 3,0                             | 50,0                       | 0,66                       |   |

Продолжение таблицы 1

|   |   |                                |                                 |                                 |                                 |                     |                     |                     |
|---|---|--------------------------------|---------------------------------|---------------------------------|---------------------------------|---------------------|---------------------|---------------------|
|   | $T_{1/2}^{\gamma}$ (эксп) (сек) <sup>(в)</sup>                          | $(5,5 \pm 0,87) \cdot 10^{-7}$ | $(1,47 \pm 0,23) \cdot 10^{-8}$ | $(4,7 \pm 0,75) \cdot 10^{-10}$ | $(3,15 \pm 0,50) \cdot 10^{-9}$ | $1,5 \cdot 10^{-8}$ | $3,6 \cdot 10^{-6}$ | $2,9 \cdot 10^{-8}$ |
|   | $F_M = \frac{B(\epsilon \lambda)_M}{B(\epsilon \lambda) \text{ эксп.}}$ | $1,3 \cdot 10^1$               | $2,3 \cdot 10^5$                | $3,6 \cdot 10^2$                | $2,6 \cdot 10^{-1}$             | $7,8 \cdot 10^1$    | $9,1 \cdot 10^2$    | $2,2 \cdot 10^4$    |
|   | $F_N = \frac{B(\epsilon \lambda)_N}{B(\epsilon \lambda) \text{ эксп.}}$ | $8,1 \cdot 10^{-3}$            | $2,9 \cdot 10^2$                | 5,5                             | $2,4 \cdot 10^{-4}$             | 1,4                 | $6,6 \cdot 10^5$    | 31                  |
|   | $F_N R_{\gamma}$  | $5,9 \cdot 10^{-3}$            | $1,8 \cdot 10^2$                | 4,8                             | $1,7 \cdot 10^{-4}$             | 1,3                 | $6,6 \cdot 10^6$    | 6,2                 |
|   | $F_F = \frac{B(\epsilon \lambda)_F}{B(\epsilon \lambda) \text{ эксп.}}$ | -                              | -                               | -                               | -                               | -                   | 3,1                 | -                   |
| б | Запрет по асимптотическим квантовым числам $n_z, \Lambda, \Sigma$       | $n_z$                          | I                               | 2                               | -                               | I                   | -                   | I                   |
|   |   | $\Lambda$                      | I                               | -                               | 2                               | I                   | 2                   | I                   |
|   |   | $\Sigma$                       | I                               | -                               | -                               | I                   | -                   | I                   |

Примечание: а) Значение интенсивности гамма-лучей взяты из работы <sup>/5/</sup>.  
 б) При расчетах  $T_{1/2}^{\gamma}$  (эксп) в ядре  $^{165}\text{Er}$  не учтены погрешности, связанные с ошибками в определении интенсивности гамма-лучей.  
 в) Все данные, кроме  $F_N R_{\gamma}$  для ядра  $^{161}\text{Dy}$ , взяты из работы <sup>/7/</sup>, а значения  $F_N R_{\gamma}$  - рассчитаны в данной работе.

имеет место одиночестичный переход на вероятность E2-переходов, а также влияние на вероятность E2-переходов примеси бета- и гамма-вibrationных полос.

Как показано в табл. 1, результаты расчетов Фэсслера с учетом смешивания различных состояний улучшают согласие теории и эксперимента для перехода с энергией 48,5 кэВ в  $^{161}\text{Dy}$ . Такое улучшение согласия В (E2) эксп. и

В (E2)<sub>μ</sub> наблюдается и для некоторых E2-переходов в следующих ядрах:  
 $^{153}_{63}\text{Eu}$ ;  $^{155}_{63}\text{Eu}$ ;  $^{155}_{64}\text{Gd}$ ;  $^{175}_{71}\text{Lu}$ ;  $^{181}_{75}\text{Ta}$ .

Структура возбужденных состояний с характеристиками  $3/2^-/521/\frac{1}{2}$  в ядрах  $^{165}\text{Er}$  и  $^{181}\text{Dy}$  была проанализирована в работах В.Г. Соловьева и других<sup>/11,12/</sup> (см.табл. 2, где  $Q_i(\lambda\mu)$  в зависимости от  $\lambda$  и  $\mu$  соответствует квадрупольному или октупольному фонону).

Как видно из табл. 2, структура этих состояний в ядрах  $^{161}\text{Dy}$  и  $^{165}\text{Er}$  аналогична и имеет одиночестичную природу. Небольшая примесь квадрупольного и октупольного фононов, очевидно, не может объяснить такое значительное ускорение E2-переходов.

Т а б л и ц а 2

Структура возбужденных состояний с  $3/2^-/521/\frac{1}{2}$  в ядрах  $^{161}\text{Dy}$  и  $^{165}\text{Er}$

| Ядро                   | Энергия уровня (кэВ) | Состояние                     | Структура  |
|------------------------|----------------------|-------------------------------|--|
| $^{161}_{66}\text{Dy}$ | 74,5                 | $3/2 \ 3/2^-/521/\frac{1}{2}$ | $/521/\frac{1}{2} \ 95\%;$ $/651/\frac{1}{2} + Q_i(30)2\%$<br>$/521/\frac{1}{2} + Q_i(22) \ 2\%$ |
| $^{165}_{68}\text{Er}$ | 242,8                | $3/2 \ 3/2^-/521/\frac{1}{2}$ | $/521/\frac{1}{2} \ 93\%;$ $/651/\frac{1}{2} + Q_i(30)3\%$<br>$/521/\frac{1}{2} + Q_i(22) \ 1\%$ |

Вероятно, в ядре  $^{165}\text{Er}$  сильное ускорение E2-переходов с энергией 242,8 и 165,8 кэВ, идущих из состояния  $3/2 \ 3/2^-/521/\frac{1}{2}$  на основное  $5/2 \ 5/2^-/523/\frac{1}{2}$  и на ротационное -  $7/2 \ 5/2^-/523/\frac{1}{2}$  состояния, связано со смешиванием двух ротационных полос, основанных на состояниях  $5/2^-/523/\frac{1}{2}$  и  $3/2^-/521/\frac{1}{2}$ . Так, например, для E2-перехода в  $^{165}\text{Er}$   $3/2 \ 3/2^-/521/\frac{1}{2} \rightarrow 5/2 \ 5/2^-/523/\frac{1}{2}$  ротационное состояние  $5/2 \ 3/2^-/521/\frac{1}{2}$  может давать вклад в основное состояние  $5/2 \ 5/2^-/523/\frac{1}{2}$ , что должно привести к усилению роли коллективных эффектов в рассматриваемых переходах.

В заключение авторы выражают глубокую благодарность К.Я. Громову за постоянную поддержку в работе, И. Звольскому за ряд полезных замечаний, Н.И. Пятову за содействие в расчетах, а также В.И. Фоминых за предоставление возможности измерения бета- и гамма-спектра  $^{165}\text{Tl}$  на спектрометрах с полупроводниковыми детекторами.

### Л и т е р а т у р а

1. Гамма-лучи. Изд. АН СССР, М-Л, 1961, глава 1.
2. S.Nilsson. Dat.Mat.Fys. Medd., 29, 16 (1955).
3. В.Г. Соловьев. Диссертация, ОИЯИ, Дубна, 1954.
4. К.Я. Громов, А.И. Калинин, В.В. Кузнецов, Н.П. Ненов, Б.П. Осиленко, В.И. Фоминых. Препринт ОИЯИ, 2724, Дубна, 1966;  
Е.Т. Кондрат, Н.П. Ненов, Б.П. Осиленко, А.А. Пермякова, В.И. Фоминых. Препринт ОИЯИ, 2853, Дубна, 1966.
5. Т. Куцарова, В. Звольска, М. Вейс. Изв. АН СССР, сер.физ., 41, (1967).
6. Л.И. Слив, И.М. Банд. Таблицы коэффициентов внутренней конверсии гамма-излучения. Изд. АН СССР, 1956.
7. K.E.Löbner and S.G.Malmkog. Nucl.Phys., 80, 505 (1966).
8. A.Faessler. Nucl.Phys., 59, 177 (1964).
9. C.F.Perdrisat. Rev. of Mod. Phys., 38, 41 (1966).
10. К.М. Железнova, А.А. Корнейчук, В.Г. Соловьев, П.Фогель, Г.Юнгклауссен. Препринт ОИЯИ, Д-2117, Дубна, 1966.
11. V.G.Soloviev, P.Vogel, G.Jungklaussen. Препринт ОИЯИ, Е4-3051, Дубна,
12. V.G.Soloviev, P.Vogel. Препринт ОИЯИ, Е-2561, Дубна, 1966.

Рукопись поступила в издательский отдел  
29 августа 1967 г.

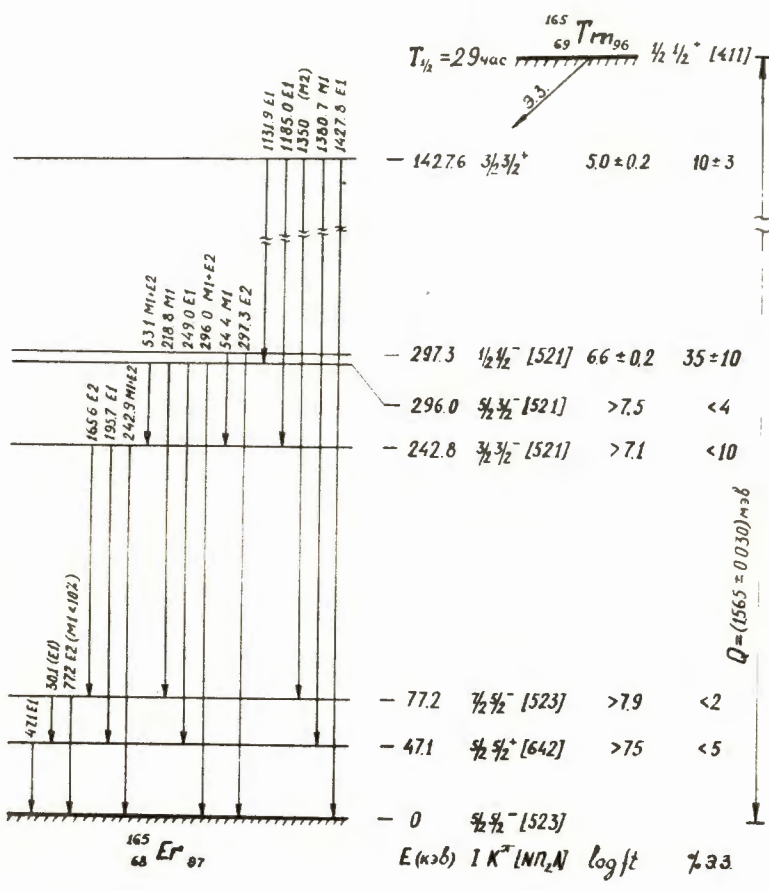


Рис. 1. Часть схемы распада  $^{165}\text{Tm}$ .

12

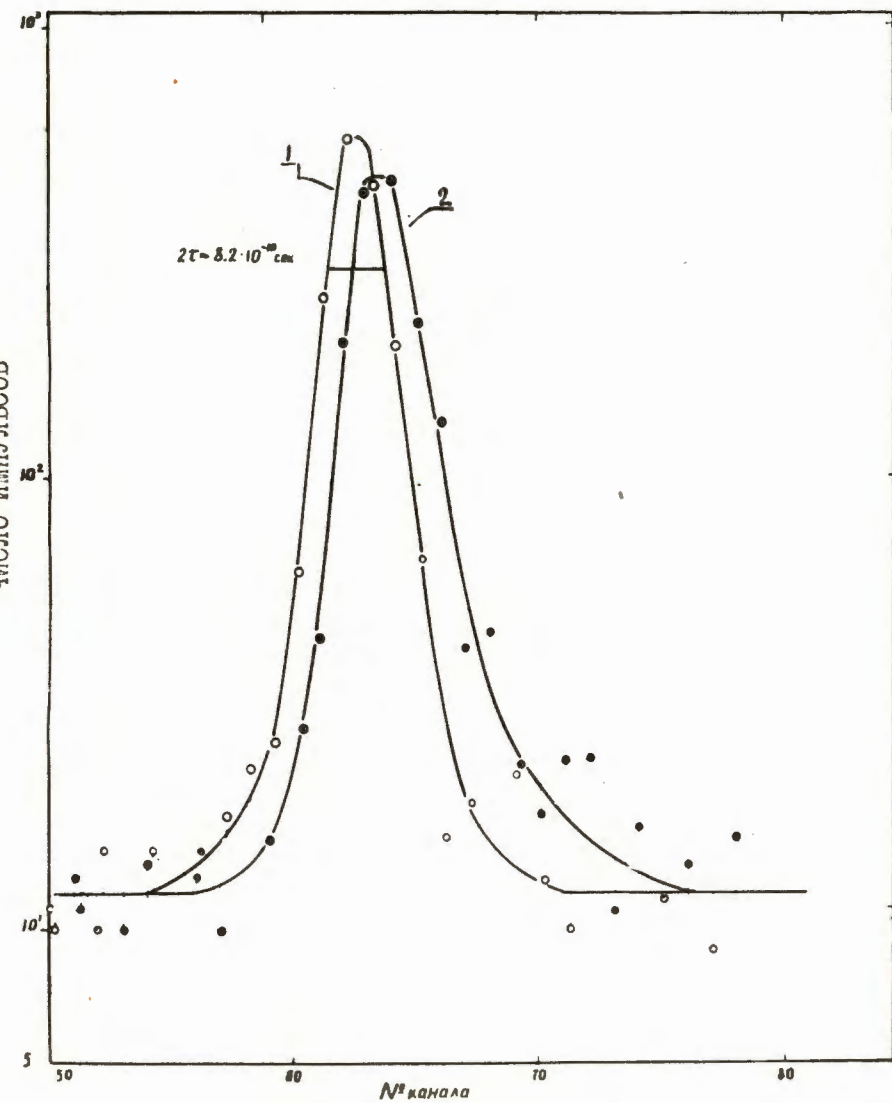


Рис. 2. Измерение времени жизни состояния 242,8 кэв в ядре  $^{165}\text{Er}$ .  
 Точки (•) - кривая запаздывающих совпадений (К-242,8) ( $\gamma > 1132$ ) в  $^{165}\text{Er}$ . Точки (○) - кривая мгновенных совпадений на  $^{60}\text{Co}$ , снятая в тех же условиях. Временная калибровка:  $(3,26 \pm 0,060) \cdot 10^{-10}$  сек/канал.

13